

$P_n^{e1}(r)$ в виде

$$P_n^{e1}(r) = A_n r^n \sqrt{1-r^2} + h_n(r), \quad 0 < r < 1.$$

Здесь A_n — неизвестная постоянная, определяемая из условия, что $h_n(r)$ — ограниченная величина. Функцию $P_n^{e1}(r)$ представим в виде разложения

$$P_n^{e1}(r) = A_n \sum_{j=0}^{\infty} P_{nj}^0 J_n(\gamma_{jn} r) + \sum_{j=0}^{\infty} h_{nj} J_n(\gamma_{jn} r), \quad (15)$$

где h_{nj} — неизвестные коэффициенты; $P_{nj}^0 = \frac{\varepsilon_{nj} \Gamma(0,5)}{\sqrt{2\gamma_{jn}^3}} J_{n+\frac{3}{2}}(\gamma_{jn})$; $\Gamma(0,5)$ — гамма-функция.

Подставляя выражение (15) в (14), получаем бесконечную систему линейных алгебраических уравнений, в которой неизвестные коэффициенты h_{nj} стремятся к нулю быстрее, чем g_{nj}^{e1} , поэтому для решения этой системы можно применить метод редукции.

1. Гринченко В. Т., Мелешко В. В. Гармонические колебания и волны в упругих телах. — Киев: Наук. думка, 1981. — 284 с.
2. Лямшев Л. М. Отражение звука тонкими пластинками и оболочками в жидкости. — М.: Изд-во АН СССР, 1953. — 79 с.
3. Пелех Б. Л. Обобщенная теория оболочек. — Львов: Вища шк., 1978. — 159 с.
4. Мэтсавзэр Я. А., Векслер Н. Д., Стулов Я. С. Дифракция акустических импульсов на упругих телах. — М.: Наука, 1979. — 226 с.
5. Скучик Е. Основы акустики. — М.: Мир, 1976. — Т. 2. 542 с.
6. Stuart A. D. Acoustic radiation from submerged plates. 1. Influence of leaky wave poles. — JASA, 1976, 59, N 5, p. 1160—1169.

Ин-т прикл. пробл. механики и математики АН УССР, Львов

Получено 12.10.83

УДК 539.3

М. М. Николишин

НАПРЯЖЕННОЕ СОСТОЯНИЕ МНОГОСЛОЙНОЙ ЦИЛИНДРИЧЕСКОЙ ОБОЛОЧКИ С СИСТЕМОЙ ПАРАЛЛЕЛЬНЫХ РАЗРЕЗОВ

Рассмотрим упругое равновесие отнесенной к линиям кривизны α, β многослойной замкнутой цилиндрической оболочки с системой k параллельных периодических расположенных сквозных разрезов $|\alpha| \leq \alpha_0, \beta = 2n\pi/k, n = 0, \pm 1, \pm 2, \dots, \pm k/2$ при k четном, $n = 0, \pm 1, \pm 2, \dots, \pm (k-1)/2$ при k нечетном. Оболочка предполагается тонкой, допускающей применение гипотезы недеформируемых нормалей для пакета в целом [1]. Слои оболочки изотропные и расположены симметрично относительно срединной поверхности. Пусть напряженно-деформированное состояние оболочки без разрезов осесимметрично. В этом случае напряженное состояние оболочки с системой k периодически расположенных разрезов будет циклически симметричным, что позволяет в дальнейшем исследовать цилиндрическую панель $|\beta| \leq \pi/k$ с разрезом $|\alpha| \leq \alpha_0, \beta = 0$.

Используя предположенный в работе [5] метод решения задач для оболочек с разрезами, систему дифференциальных уравнений в перемещениях для круговой многослойной цилиндрической оболочки записываем так:

$$L_{j1}u + L_{j2}v + L_{j3}w = q_j \quad (j = \overline{1, 3}). \quad (1)$$

Здесь

$$L_{11} = C_{11}\partial_1^2 + \frac{1}{2}(C_{11} - C_{12})\partial_2^2; \quad L_{12} = L_{21} = \frac{1}{2}(C_{11} + C_{12})\partial_1\partial_2;$$

$$L_{13} = L_{31} = C_{12}\partial_1; \quad L_{22} = (C_{11} + R^{-2}D_{11})\partial_2^2 + \left[\frac{1}{2}(C_{11} - C_{12}) + \right.$$

$$\begin{aligned}
& + 2R^{-2}(D_{11} - D_{12}) \left] \partial_1^2; \quad L_{23} = L_{32} = C_{11}\partial_2 - R^{-2}(2D_{11} - D_{12})\partial_1^2\partial_2 - \right. \\
& \quad \left. - R^{-2}D_{11}\partial_2^3; \quad L_{33} = C_{11} + R^{-2}D_{11}\nabla^2\nabla^2; \quad q_1 = R\partial_1 C_{12}\varepsilon_2^0; \\
& \quad q_2 = \partial_2(RC_{11}\varepsilon_2^0 + D_{11}\varkappa_2^0); \quad q_3 = RC_{11}\varepsilon_2^0 - (\partial_1^2 D_{12} + \partial_2^2 D_{11})\varkappa_2^0; \\
D_{11} &= \frac{2}{3} \sum_{i=1}^m \frac{E_i}{1-\nu_i^2} (h_i^3 - h_{i-1}^3); \quad D_{12} = \frac{2}{3} \sum_{i=1}^m \frac{E_i\nu_i}{1-\nu_i^2} (h_i^3 - h_{i-1}^3); \\
C_{11} &= 2 \sum_{i=1}^m \frac{E_i}{1-\nu_i^2} (h_i - h_{i-1}); \quad C_{12} = 2 \sum_{i=1}^m \frac{E_i\nu_i}{1-\nu_i^2} (h_i - h_{i-1}); \\
\partial_1 &= \frac{\partial}{\partial\alpha}; \quad \partial_2 = \frac{\partial}{\partial\beta}; \quad \nabla^2 = \partial_1^2 + \partial_2^2;
\end{aligned}$$

E_i , ν_i — соответственно модуль упругости и коэффициент Пуассона i -го слоя оболочки; h_i — расстояние от срединной поверхности до границы раздела i -го и $(i + 1)$ -го слоев; $(2m - 1)$ — число слоев оболочки; R , u , v , w — радиус и компоненты перемещений срединной поверхности оболочки. Функции ε_2^0 , \varkappa_2^0 , характеризующие скачки перемещений и углов поворота для исследуемой панели, представим в виде [5]

$$\varepsilon_2^0(\alpha, \beta) = \varepsilon(\alpha)\delta(\beta), \quad \varkappa_2^0(\alpha, \beta) = \frac{1}{R}\varkappa(\alpha)\delta(\beta), \quad |\alpha| < \alpha_0, \quad (2)$$

$$\varepsilon_2^0(\alpha, \beta) = \varkappa_2^0(\alpha, \beta) = 0, \quad |\alpha| \geq \alpha_0,$$

где $\varepsilon(\alpha) = \frac{1}{R}[v(\alpha)]$; $\varkappa(\alpha) = -[\theta_2(\alpha)]$.

Решение системы уравнений (1) представим в виде

$$z = L_z\varphi_1 + P_z\varphi_2 \quad (z = u, v, w). \quad (3)$$

Здесь

$$\begin{aligned}
L_u &= R[\mu\partial_1^7 + (2\mu - 1)\partial_1^5\partial_2^2 + (\mu - 2)\partial_1^3\partial_2^4 - \partial_1\partial_2^6]; \\
P_u &= R[\eta\partial_1^5 + (\mu - \eta)\partial_1^3\partial_2^2 - \partial_1\partial_2^4]; \quad L_v = R[(2 + \mu)\partial_1^5\partial_2 + \\
& + (5 + 2\mu)\partial_1^4\partial_2^3 + (4 + \mu)\partial_1^2\partial_2^5 + \partial_2^7]; \quad P_v = R[\eta(2 + \mu)\partial_1^4\partial_2 + \\
& + (2 + \eta + \mu)\partial_1^2\partial_2^3 + \partial_2^5]; \quad L_w = \frac{R^3C_{11}}{D_{11}}(1 - \mu^2)\partial_1^4; \quad P_w = -R[\mu\partial_1^6 + \\
& + (2\mu + 1)\partial_1^4\partial_2^2 + (2 + \mu)\partial_1^2\partial_2^4 + \partial_2^6]; \quad \mu = \frac{C_{12}}{C_{11}}; \quad \eta = \frac{D_{12}}{D_{11}},
\end{aligned}$$

а функции φ_i ($i = 1, 2$) удовлетворяют уравнениям

$$\begin{aligned}
D\varphi_1 &= \varepsilon_2^0(\alpha, \beta), \quad D\varphi_2 = R\varkappa_2^0(\alpha, \beta), \\
D &= \nabla^2\nabla^2\nabla^2\nabla^2 + a^{-2}\partial_1^4, \quad a^2 = \frac{D_{11}}{R^2C_{11}(1 - \mu^2)}.
\end{aligned} \quad (4)$$

Подставляя выражения (2) в уравнения (4) и учитывая условия циклической симметрии

$$v = 0, \quad \partial_2 w = 0 \quad \text{при } \beta = \pm \pi/k, \quad (5)$$

для определения разрешающих функций $\varphi_i(\alpha, \beta)$ получаем формулу

$$\varphi_i(\alpha, \beta) = \frac{k}{\pi} \sum_{n=0}^{\infty} \lambda_n \cos kn\beta \int_{-\alpha_0}^{\alpha_0} e_i(\xi) \Phi_n^0(\xi - \alpha) d\xi \quad (i = 1, 2), \quad (6)$$

где $e_1(\xi) = \varepsilon(\xi)$; $e_2(\xi) = \varkappa(\xi)$; $\lambda_0 = \frac{1}{2}$; $\lambda_n = 1$ ($n \geq 1$); $\Phi_n^0(z)$ легко получить из формул, приведенных в работе [5], заменив в последних s на a .

Вдоль отрезка $|\alpha| \leq \alpha_0$, $\beta = 0$ потребуем, чтобы суммарные (в оболочке без разрезов и вызванные полем (2)) нормальное усилие N_2^1 и изгиба-

ющий момент M_2^1 удовлетворяли условиям свободных берегов разреза

$$N_2^1(\alpha, 0) = 0, \quad M_2^1(\alpha, 0) = 0 \quad \text{при } |\alpha| < \alpha_0. \quad (7)$$

Подставляя соотношение (6) в (3), а последнее в формулы

$$\begin{aligned} N_2 &= C_{11}R^{-1}(\mu\partial_1 u + \partial_2 v + \omega - R\varepsilon_2^0), \\ M_2 &= -D_{11}R^{-2}[(\eta\partial_1^2 + \partial_2^2)\omega - \partial_2 v + R^2\kappa_2^0] \end{aligned} \quad (8)$$

и удовлетворяя граничным условиям (7), для определения производных от функций $\varepsilon(\alpha)$, $\kappa(\alpha)$ получаем систему сингулярных интегральных уравнений

$$\frac{a_m}{2\pi} \int_{-1}^1 \frac{F_m(\alpha_0\tau)}{\tau - t} d\tau = G_m(t), \quad |t| \leq 1 \quad (m = 1, 2). \quad (9)$$

Здесь .

$$\begin{aligned} G_m &= f_m - \frac{\alpha_0 k}{2\pi} \sum_{i=1}^2 \int_{-1}^1 F_i(\alpha_0\tau) K_{mi}[\alpha_0(t - \tau)] d\tau; \quad t = \frac{\alpha}{\alpha_0}; \quad a_1 = 1; \\ a_2 &= 3 - 2\eta - \eta^2; \quad f_1 = \frac{2N_2^0}{C_{11}(1 - \mu^2)}; \quad f_2 = \frac{2M_2^0}{Ra^2 C_{11}(1 - \mu^2)}; \quad F_1 = -\frac{d\varepsilon}{d\alpha}; \\ F_2 &= -a^2 \frac{d\kappa}{d\alpha}; \quad K_{11}(z) = -\frac{1}{2} \operatorname{cth} \frac{kz}{2} + \frac{1}{kz} - \frac{1}{2} \left(1 - \frac{kz}{\operatorname{sh} kz}\right) \operatorname{cth} \frac{kz}{2} + \\ &+ (1 - \omega_0) \operatorname{sgn} z - 4 \sum_{n=1}^{\infty} \left[\frac{1}{L_n} \sum_{j=1}^2 \frac{1}{g_{jn}} (A_{jn}^{(1)} \omega_1 + A_{jn}^{(2)} \omega_2) - \frac{1}{2} e^{-kn|z|} \times \right. \\ &\quad \left. \times \left(\operatorname{sgn} z - \frac{1}{2} knz \right) \right]; \quad K_{12}(z) = K_{21}(z) = \eta e^{-\frac{|z|}{\sqrt{2a}}} \sin \frac{z}{\sqrt{2a}} - \\ &- \frac{4}{a} \sum_{n=1}^{\infty} \frac{1}{L_n} \sum_{j=1}^2 \frac{1}{g_{jn}} (D_{jn}^{(1)} \omega_1 + D_{jn}^{(2)} \omega_2); \quad K_{22}(z) = -\frac{a_2}{2} \operatorname{cth} \frac{kz}{2} + \frac{a_2}{kz} + \\ &+ (1 - \eta^2) \left(1 - \frac{kz}{\operatorname{sh} kz}\right) \operatorname{cth} \frac{kz}{2} - \eta(1 - \omega_0) \operatorname{sgn} z - \\ &- 4 \sum_{n=1}^{\infty} \left\{ \frac{1}{L_n} \sum_{j=1}^2 \frac{1}{g_{jn}} (A_{jn}^{(3)} \omega_1 + A_{jn}^{(4)} \omega_2) - \frac{1}{2} e^{-kn|z|} \left[(1 - \eta^2) \operatorname{sgn} z + \right. \right. \\ &\quad \left. \left. + \frac{1}{2} (1 - \eta^2) knz \right] \right\}; \quad \omega_0 = \exp\left(-\frac{|z|}{\sqrt{2a}}\right) \cos \frac{z}{\sqrt{2a}}; \\ \omega_1 &= \exp(-a_{jn}|z|) \cos b_{jn} z \operatorname{sgn} z; \quad \omega_2 = \exp(-a_{jn}|z|) \sin b_{jn} z; \\ A_{jn}^{(1)} &= t_{jn} E_{jn} - s_{jn} H_{jn} - 2k^2 n^2 d_{jn} + k^4 n^4 E_{jn}; \quad D_{jn}^{(1)} = \eta d_{jn} - k^2 n^2 E_{jn}; \\ d_{jn} &= s_{jn} C_{jn} + t_{jn} B_{jn}; \quad A_{jn}^{(3)} = (1 - \eta^2) (t_{jn} E_{jn} - s_{jn} H_{jn}) - \\ &- 2k^2 n^2 (2 - \eta - \eta^2) d_{jn} + k^2 n^2 (5 - 4\eta - \eta^2) E_{jn} - 2k^6 n^6 (1 - \eta) B_{jn} + \\ &+ \frac{1}{a^2} E_{jn}; \quad t_{jn} = \rho_{jn}^2 - g_{jn}^2; \quad s_{jn} = 2\rho_{jn} g_{jn}; \quad r_{jn} = s_{jn} B_{jn} - t_{jn} C_{jn}; \end{aligned}$$

$A_{jn}^{(2)}, D_{jn}^{(2)}, A_{jn}^{(4)}$ получим из выражений для $A_{jn}^{(1)}, D_{jn}^{(1)}, A_{jn}^{(3)}$, заменяя в последних $E_{jn}, H_{jn}, d_{jn}, B_{jn}$ соответственно на $H_{jn}, -E_{jn}, r_{jn}, -C_{jn}$; формулы для определения $L_n, E_{jn}, H_{jn}, \rho_{jn}, g_{jn}, B_{jn}, C_{jn}$ приведены в работе [5]; N_2^0, M_2^0 — усилие и момент в оболочке без трещин.

Решая систему сингулярных интегральных уравнений (9) методом механических квадратур [2], для определения коэффициентов интенсивности [3], соответствующих нормальному усилию (K_N) и изгибающему моменту

(K_M), получаем

$$K_N = \frac{1}{2} N_2^0 \sqrt{R\alpha_0} K_1^*, \quad K_M = \frac{1}{2} N_2^0 a_2 Ra \sqrt{R\alpha_0} K_3^*, \quad (10)$$

где

$$K_i^* = \sum_{j=1}^{N/2} A_{2j-1}^{(i)}, \quad A_{2j-1}^{(i)} = \frac{4}{N} \sum_{v=1}^{N/2} \varphi_v^{(i)} \cos(2j-1)\vartheta_v, \quad \vartheta_m = \frac{2m-1}{2N} \pi$$

$$(i = 1, 3);$$

$\varphi_v^{(1)}, \varphi_v^{(3)}$ находим, решая систему N линейных алгебраических уравнений

$$\sum_{v=1}^{N/2} (\alpha_{mv} \varphi_v^{(1)} + \beta_{mv} \varphi_v^{(3)}) = 1, \quad (11)$$

$$\sum_{v=1}^{N/2} (\beta_{mv} \varphi_v^{(1)} + \alpha_{mv}^* \varphi_v^{(3)}) = \frac{M_2^0}{Ra N_2^0}.$$

Здесь

$$\alpha_{mv} = \frac{1}{2N} [\psi_{mv} + K_{11}(z_1) - K_{11}(z_2)]; \quad \beta_{mv} = \frac{1}{2N} [K_{12}(z_1) - K_{21}(z_2)];$$

$$\alpha_{mv}^* = \frac{1}{2N} [a_2 \psi_{mv} + K_{22}(z_1) - K_{22}(z_2)]; \quad z_1 = \alpha_0 (\cos \vartheta_m - \cos \vartheta_v);$$

$$z_2 = \alpha_0 (\cos \vartheta_m + \cos \vartheta_v); \quad \psi_{mv} = \frac{1}{\sin \vartheta_m} \left[\operatorname{ctg} \frac{1}{2} (\vartheta_m \mp \vartheta_v) + \operatorname{tg} \frac{1}{2} (\vartheta_m \mp \vartheta_v) \right].$$

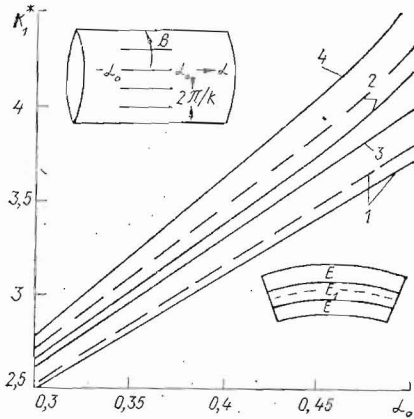


Рис. 1.

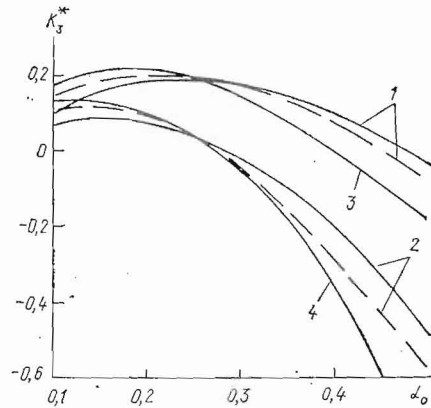


Рис. 2.

В формуле для определения ψ_{mv} верхний знак берем в случае, когда число $|m - v|$ нечетно, а нижний — когда оно четно.

Для иллюстрации применения приведенных соотношений рассмотрим оболочку, составленную из трех изотропных слоев одинаковой толщины, которая находится под воздействием внутреннего давления интенсивности p . При этом считаем, что коэффициент Пуассона ν (γ) = ν неизменный по всей толщине оболочки; модуль упругости E (γ) внешнего и внутреннего слоев равен E , а среднего — σE . Тогда

$$C_{11} = \frac{2Eh}{3(1-\nu^2)} (2 + \sigma), \quad C_{12} = \nu C_{11}, \quad D_{11} = \frac{2Eh^3}{81(1-\nu^2)} (26 + \sigma),$$

$$D_{12} = \nu D_{11}, \quad a^2 = \frac{h^2}{27R^2(1-\nu^2)} \frac{26 + \sigma}{2 + \sigma}, \quad \mu = \eta = \nu,$$

где h — полутолщина оболочки.

Численный анализ коэффициентов интенсивности проводился при следующих значениях параметров: $R/h = 100$, $\nu = 0,3$, $\sigma = 0,2$; 1; 5; $k = 1$; 7. На рис. 1, 2 приведены графики, характеризующие изменение коэффициентов интенсивности K_1^* и K_3^* соответственно в зависимости от относитель-

ной длины разрезов $\alpha_0 = l/R$ и их количества. Кривыми 1, 3 показано изменение коэффициентов интенсивности в оболочке с одним разрезом ($k = 1$), а кривыми 2, 4 — в оболочке с семью ($k = 7$) разрезами. При этом штриховые линии соответствуют однородной оболочке ($\sigma = 1$), сплошные линии 1, 2 — параметру $\sigma = 0,2$, а 3, 4 — параметру $\sigma = 5$. Как видно из графиков, коэффициенты интенсивности имеют меньшее значение для оболочек, в которых модуль упругости внешнего и внутреннего слоев превышает значение модуля упругости среднего слоя.

1. Амбарцумян С. А. Общая теория анизотропных оболочек.— М.: Наука, 1974.— 446 с.
2. Каландия А. И. Математические методы двумерной упругости.— М.: Наука, 1973.— 303 с.
3. Панасюк В. В., Саврук М. М., Дацышин А. П. Распределение напряжений около трещин в пластинах и оболочках.— Киев: Наук. думка, 1976.— 443 с.
4. Подстригач Я. С., Швець Р. Н. Термоупругость тонких оболочек.— Киев: Наук. думка, 1978.— 343 с.
5. Подстригач Я. С., Осадчук В. А., Федюк Е. М., Николышин М. М. Метод дисторсий в теории тонких оболочек с трещинами.— Мат. методы и физ.-мех. поля, 1975, вып. 1, с. 29—41.

Ин-т прикл. пробл. механики
и математики АН УССР, Львов

Получено 04.05.83

УДК 539.3

Р. М. Мартыняк

ВЗАИМОДЕЙСТВИЕ УПРУГИХ ПОЛУПЛОСКОСТЕЙ ПРИ НЕПОЛНОМ МЕХАНИЧЕСКОМ КОНТАКТЕ

Рассмотрим плоскую задачу о контактном взаимодействии упругих тел при неполном контакте. Тела моделируем нижней S_1 и верхней S_2 полуплоскостями, которые контактируют без трения вдоль оси абсцисс L декартовой системы координат и находятся под действием сжимающих усилий на бесконечности $\sigma_y^\infty = -p$. Под влиянием системы сосредоточенных сил $P_k = P_{xk} + iP_{yk}$ в точках z_{k0} и моментов M_k в точках z_{k0} ($z_{k0} \in S_k$) вдоль N отрезков $L_n = [a_n, b_n]$ линии L образуются зоны нарушения прямого контакта. Вдоль $L = L'' \setminus L'$, где $L' = \bigcup_{n=1}^N L_n$, тела контактируют непосредственно. К границам полуплоскостей на L' приложены нормальные $\sigma_{y1} = P^-(x)$, $\sigma_{y2} = P^+(x)$ и касательные $\tau_{xy1} = Q^-(x)$, $\tau_{xy2} = Q^+(x)$ усилия. Здесь и далее индекс 1 у величины относит ее к области S_1 , индекс 2 — к S_2 , а обозначения для компонент тензора напряжений, вектора смещений и упругих постоянных общеприняты [1]. Требуется определить напряженно-деформированное состояние в телах, форму зазоров и их местоположение.

Напряжения и перемещения должны удовлетворять граничным условиям на линии L и на бесконечности:

$$\tau_{xy1} = \tau_{xy2} = 0 \quad (x \in L''), \quad \tau_{xy1} = Q^-(x), \quad \tau_{xy2} = Q^+(x) \quad (x \in L'); \quad (1)$$

$$\sigma_{y1} = \sigma_{y2} \quad (x \in L''), \quad \sigma_{y1} = P^-(x), \quad \sigma_{y2} = P^+(x) \quad (x \in L'); \quad (2)$$

$$v_1' - v_2' = 0 \quad (x \in L''); \quad (3)$$

$$\sigma_{yk}^\infty = -p, \quad \tau_{xyk}^\infty = \sigma_{xk}^\infty = 0 \quad (k = 1, 2). \quad (4)$$

Перейдем к решению задачи. Напряжения и перемещения выражаются с учетом условия (4) через комплексные потенциалы $\Phi_k(z)$, продолженные из области S_k в S_l ($k, l = 1, 2; k \neq l$) и убывающие на бесконечности, следующим образом [1, 3]:

$$\sigma_{yk} - i\tau_{xyk} = \Phi_k(z) - \Phi_k(\bar{z}) + (z - \bar{z})\overline{\Phi_k'(z)} + A(z) - p; \quad (5)$$

$$2\mu_k(u_k' + iv_k') = \kappa_k\Phi_k(z) + \Phi_k(\bar{z}) - (z - \bar{z})\overline{\Phi_k'(z)} + B_k(z) + \frac{p}{4}(3 - \kappa_k)$$

$$(z \in S_k; k = 1, 2),$$